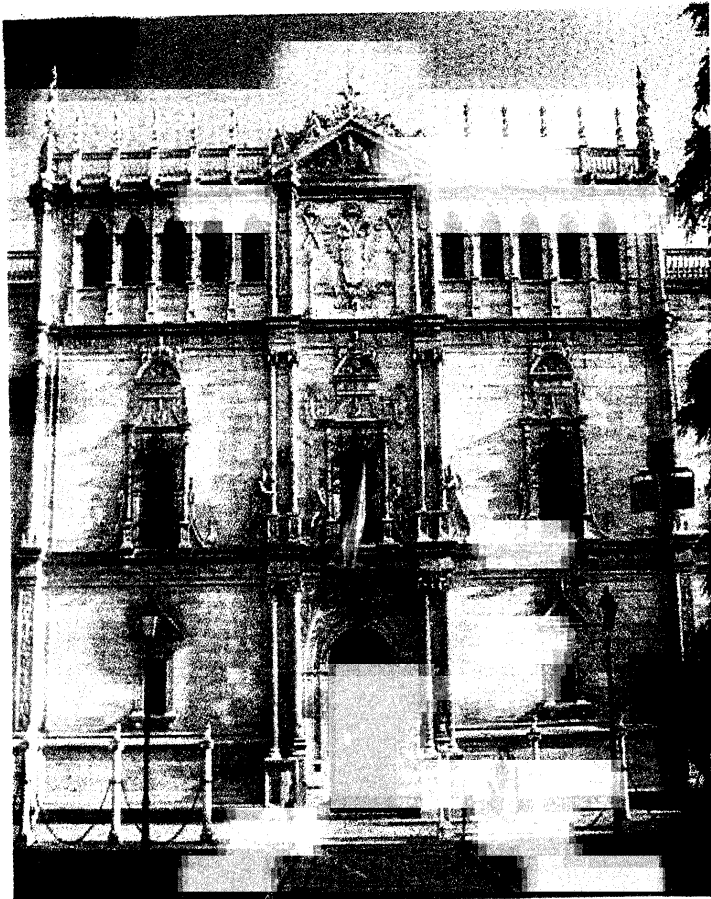


Electrocerámica

III Reunión Nacional



PROGRAMA

**Junio 19-20, 1997
Alcalá de Henares
Madrid**

- P15 Efecto del óxido de cerio sobre la estabilidad y conductividad iónica de la solución sólida cúbica $\text{Bi}_2\text{O}_3\text{-Y}_2\text{O}_3$.**
C. Moure, J. Tartaj, P. Durán.
Dpto Electrocerámica, Instituto de Cerámica y Vidrio, CSIC
- P16 Influencia del dopado con CaO sobre la microestructura y la conductividad iónica en materiales cerámicos basados en $\text{CeO}_2\text{-Y}_2\text{O}_3$.**
C. Moure, M. Villegas, J. Tartaj, P. Durán.
Dpto Electrocerámica, Instituto de Cerámica y Vidrio, CSIC
- P17 Cinética de la intercalación de Li y Na en $\text{W}_{18}\text{O}_{49}$.**
A. Martínez de la Cruz, F. García-Alvarado, L. M. Torres-Martínez*, E. Morán, M. A. Alario-Franco.*
Dpto Química Inorgánica, Facultad de CC Químicas. Universidad Complutense de Madrid.
** Dpto Química Inorgánica y Materiales, Fac. Ciencias Experimentales y Técnicas, Universidad San Pablo-CEU.*
** Facultad de CC Químicas, Universidad Autónoma de nuevo León, Mexico.*
- P18 Transiciones de fase y conducción electrónica en soluciones sólidas CaYMnO_3 .**
C. Moure, M. Villegas, J. F. Fernández, J. Tartaj, P. Durán.
Dpto Electrocerámica, Instituto de Cerámica y Vidrio, CSIC
- P19 Ceramic Sensor with NTC-Thermistor for corrosive metallic melts.**
M. Diaconescu, M. Nicolae.
Research and Development Institute for Electrical Engineering, Rumania.
- P20 Commutación electrónica en materiales semiconductores cerámicos basados en YMnO_3 .**
C. Moure, M. Villegas, J. F. Fernández, P. Durán.
Dpto Electrocerámica, Instituto de Cerámica y Vidrio, CSIC
- P21 Semiconductores cerámicos NTC basados en $\text{Co}_x\text{Ni}_y\text{Mn}_{4-x-y}\text{O}_4$ preparados por vía química.**
R. Rojas, . Martínez de Viales, E. Vila, O. García-Martínez, P. Durán, C. Moure*.*
Instituto de Ciencia de Materiales de Madrid, CSIC.
Dpto Electrocerámica, Instituto de Cerámica y Vidrio, CSIC.
- P22 Conductividad iónica ya transformaciones de fase en óxidos $\text{Bi}_{2-2x}\text{U}_x\text{La}_x\text{O}_{(3+3x/2)}$.**
R. M. Rojas, J. M. Amarilla, J. M. Rojo.
Instituto de Ciencia de Materiales de Madrid, CSIC
- P23 Structure and properties ($\text{Ba}_{1-x}\text{Ln}_{3+x}\text{TiO}_3$) posistor ceramics.**
A. G. Belous, O. I. V'yunov, O. Z. Yanchevskii, L. L. Kovalenko.
Institute of General and Inorganic Chemistry, Ukraine.
- P24 Preparación y caracterización eléctrica de materiales basados en $\text{SrO-TiO}_2\text{-Fe}_2\text{O}_3$.**
M. T. Colomer, J. R. Jurado, J. R. Frade.*
Dpto Electrocerámica, Instituto de Cerámica y Vidrio, CSIC.
** Dpto de Engenharia Cerâmica e do Vidro, Universidade de Aveiro, Portugal.*

POSTER-2

- P25 Fotoluminiscencia de Nd^{3+} en láminas delgadas de LiNbO_3 .**
J. E. Alfonso, M. J. Martín, C. Zaldo.
Instituto de Ciencia de Materiales de Madrid, CSIC.
- P26 Polioxometalatos como modelos Fotoelectroquímicos de óxidos semiconductores coloidales (Quantum Dots).**
P. Gómez-Romero.
Instituto de Ciencia de Materiales de Barcelona, CSIC.
- P27 Comportamiento Electroquímico de óxidos con Estructura tipo perovskita y relacionadas.**
C. R. Michel, N. Casañ-Pastor.
Instituto de Ciencia de Materiales de Barcelona, CSIC.
- P28 Comportamiento Dieléctrico y Ferroeléctrico de las soluciones Sólidas de LiTaO_3 con Mn^{2+} .**
F. Correa-Miranda, A. Huanosta-Tera, M.E. Villafuerte-Castrejón.
Instituto de Investigaciones en Materiales, Universidad nacional Autónoma de México, México.